# Морфологическая оценка костной ткани под коллагеновыми и титановыми мембранами в эксперименте

- **А. А. Долгалев,** д.м.н., доцент кафедры стоматологии общей практики и детской стоматологии<sup>1</sup>
- **И.С. Амхадов**, аспирант кафедры хирургической стоматологии и имплантологии<sup>1</sup>
- **Р.М. Атабиев**, аспирант кафедры хирургической стоматологии и имплантологии<sup>1</sup>
- **К. А. Цукаев**, аспирант кафедры хирургической стоматологии и имплантологии<sup>1</sup>
- **Н.Г. Аракелян,** студентка стоматологического факультета<sup>2</sup>
- Д. С.-А. Елдашев, аспирант кафедры стоматологии общей практики и детской стоматологии<sup>2</sup>

<sup>1</sup>ГБУЗ МО «Московский областной научно-исследовательский клинический институт имени М.Ф. Владимирского», г. Москва

<sup>2</sup>ФГБОУ ВО «Ставропольский государственный медицинский университет» Минздрава России, г. Ставрополь

## Morphological evaluation of bone tissue under collagen and titanium membranes in experiment

A.A. Dolgalev, I.S. Amkhadov, R.M. Atabiev, K.A. Tsukaev, N.G. Arakelyan, D.S.-A. Eldashev Moscow Regional Research Clinical Institute n.a. M.F. Vladimirsky, Moscow; Stavropol State Medical University, Stavropol; Russia

#### Резюме

Целью данного исследования явилось проведение сравнительной оценки двух видов мембран для направленной костной регенерации. Сравнивалась пролиферативная активность титановой мембраны и мембраны изготовленной из коллагена. Работа выполнена на биопсийном материале челюстей баранов, которым проведена костная аугментация с применением двух разновидностей мембран. Морфологические и гистохимические исследования биоптатов показали высокую пролиферативную активность исследуемых образцов.

Ключевые слова: костная аугментация, мембраны, грануляционная ткань, воспаление, остеогенез, направленная костная регенерация.

#### Summary

The aim of this study was to perform a comparative evaluation of two types of membranes for guided bone regeneration. The proliferative activity of a titanium membrane and a membrane made of collagen. The work was performed on the biopsy material of the rams' jaws, which performed bone augmentation using two types of membranes. Morphological and histochemical studies of biopsy samples showed high proliferative activity of the samples under study.

Key words: bone augmentation, membrane, granulation tissue, inflammation, osteogenesis, guide bone regeneration

## Введение

Направленная костная регенерация является наиболее актуальным вопросом современной медицины. Использование коллагеновых и титановых мембран дает хороший стойкий результат при восстановлении дефектов костной ткани [1, 2, 3, 4, 5].

Мембраны для регенерации костной ткани должны:

- быть биосовместимыми;
- обладать барьерными свойствами;
- удерживать пространство для формирования кости;
- быть достаточно прочными и одновременно гибкими, чтобы можно было формировать контур кости.

## Цель исследования

Изучить процесс новообразования костной ткани в динамике и оценить эффект действия остеопластического материала «Ксенографт» на процесс реперативной регенерации, провести

сравнительную оценку степени восстановления костного дефекта при использовании остеопластического матрикса с различными мембранами.

## Задачи исследования

- Изучить в эксперименте на животных эффективность направленной костной регенерации с применением костнопластического материала XENOGRAFT и мембраны BioPLATE Barrier.
- Провести клиническое сравнение процессов регенерации костной ткани с использованием различных мембран.

## Материалы и методы исследования

Объектами исследования явились следующие материалы:

 костный матрикс XENOGRAFT Collagen субтотальной деминерализации;

- биорезорбируемая коллагеновая мембрана серии bioPLATE Barrier;
- титановая мембрана.

## Экспериментальные исследования

Доклиническое исследование проводили в виварии опытной станции Всероссийского научно-исследовательского института овцеводства и козоводства. В эксперименте in vivo использовали шесть половозрелых овец северо-кавказской мясошерстной породы в возрасте полутора-двух лет с полностью сформированными корнями зубов. Масса тела животных составляла 35–40 кг. Овец содержали в вольерах на обычном пищевом рационе (рис. 1). Овцы были разбиты на три группы по две особи.

Опыты производили в соответствии с положением приказа № 775 M3 СССР от 12.08.77. Все манипуляции выполняли под наркозом путем внутримы-

шечного введения раствора тиопентала натрия в расчете 50 мг на 1 кг массы тела животного. Для премедикации применяли следующую комбинацию препаратов: дроперидол 0.25% - 0.2 мл/кг + реланиум 0.5% - 0.2 мл/кг + трамал 1.0 мл внутримышечно (рис. 2).

Имплантацию материалов проводили по следующей методике. Через наружные разрезы в поднижнечелюстных областях длиной 6–7 см осуществляли доступ к поверхностям правой и левой сторон тела нижней челюсти (рис. 3).

Кортикальная пластинка трепанировалась фрез-трепаном диаметром 8 мм, им же создавалось по две искусственных костных полости округлой форм на правой и левой половинах нижней челюсти (рис. 4).

После медикаментозной обработки костные дефекты заполняли костным материалом, и накладывали мембраны (рис. 4, 5).

Мягкие ткани послойно ушивали резорбируемым шовным материалом, на коже — нерезорбируемые швы (рис. 6).

# Методика забора материала для гистологического исследования

Овец выводили из эксперимента через 1, 3 и 6 месяцев. Забор материала для морфологического исследования проводили с помощью остеотомов, дисковой пилы, костных кусачек.

Перед подготовкой к гистологическому исследованию проводили сканирование полученных блоков с помощью конусно-лучевой компьютерной томографии.

Образцы тканей фиксировали в нейтральном 7-процентном формалине, подвергали декальцинации, проводили через серию спиртов возрастающей концентрации и заливали в парафин. Парафиновые срезы толщиной 5-7 мкм окрашивали: гематоксилином и эозином; по методу Вейгерта — Ван Гизона; Сириусом красным. Используя микроскоп с цифровой фотонасадкой Sony разрешением 12 мегапикселей, с каждого гистологического препарата было получено по пять фотографий. На микрофотографиях с использованием программ ImageView, ImageTool v.2.00 проводили оценку воспалительной реакции,



Рисунок 1. Один из этапов операции.



Рисунок 2. Этап операции. Разрез мягких тканей и скелетирование поверхности нижней челюсти.



Рисунок 3. Формирование костного дефекта.



Рисунок 4. Костный матрикс XENOGRAFT Collagen субтотальной деминерализации; биорезорбируемая коллагеновая мембрана серии bioPLATEBarrier; титановая мембрана.

клеточного состава, коллагеновых и эластических волокон; выявляли процентное соотношение типа коллагена.

Микроскопирование гистологических препаратов и микрофотосъемку проводили с помощью микроскопа Leica DM 1000, фотодокументирование осуществляли цифровой камерой DFC 420 с программным обеспечением.



Рисунок 5. Костные дефекты заполнены аугментатом. Установлены мембраны.



Рисунок 6. Этапы ушивания раны.

Таблица 1 Фрагменты из области эксперимента с костной тканью под мембраной. А. Окраска гематоксилином и эозином, ув.200×. Б. Окраска по методу Вейгерта — Ван Гизона, ув. 200×

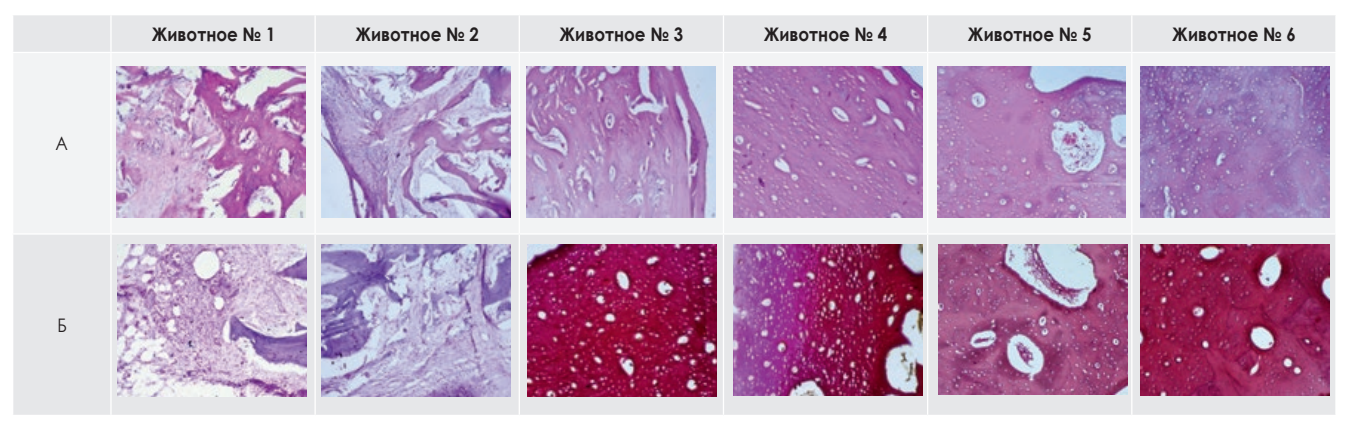


Таблица 2 Фрагменты из области эксперимента с костной тканью под мембраной, окраска Сириусом красным, при проведении поляризационной микроскопии, ув. 200×



Таблица 3 Процентное соотношение типов коллагена

Образец	Тип коллагена	Min, %	Max, %	Среднее значение, %
Спустя 1 месяц	Ітип	5,49	21,91	16,50
Животное № 1	III тип	7,91	20,62	12,73
Спустя 1 месяц	I тип	39,80	43,53	41,61
Животное № 2	III тип	14,63	24,61	21,45
0 0 14 14 0	I тип	4,14	28,03	14,70
Спустя 3 месяца Животное № 3	III тип	14,48	34,02	22,52
0 0 14	I тип	12,70	23,67	19,12
Спустя 3 месяца Животное № 4	III тип	6,65	15,01	10,37
Carray / Magazina Munazina Na E	I тип	67,80	90,10	80,05
Спустя 6 месяцев Животное № 5	III тип	0,90	4,10	2,08
Carray / Magazina Minarina Ne /	I тип	70,70	84,90	77,63
Спустя 6 месяцев Животное № 6	III тип	3,80	8,20	5,80

## Результаты исследования

1. Морфологическое исследование фрагментов из области эксперимента с костной тканью под коллагеновой мембраной через 1 месяц (животные  $\mathbb{N}_2$  1, 2), 3 месяца (животные  $\mathbb{N}_2$  3, 4), 6 месяцев (животные  $\mathbb{N}_2$  5, 6).

Оценка стекол, окрашенных по методу Вейгерта — Ван Гизона, выявила преимущественное расположение аргирофильных (животные № 1, 2) и коллагеновых (животные № 3, 4, 5, 6) волокон. Эластические волокна не встречались (табл. 1).

При исследовании гистологических стекол, окрашенных Сириусом красным (Sirius Red), выявлено исходное процентное соотношение коллагеновых волокон I и III типов. При исследовании данных гистологических стекол в поляризованном свете коллаген I типа подсвечивается красным спектром света, коллаген III типа — зеленым спектром (табл. 2).

При проведении спектрального исследования с подсчетом пикселей красного цвета (І тип) и пикселей зеленого цвета (ІІІ тип) получены

следующие средние величины: через месяц после начала эксперимента среднее значение коллагена I типа в препарате составило порядка 16%, через 3 месяца — около 19%, через 6 — около 80%. Значения коллагена III были следующие: через 1 месяц — порядка 14%, через 3 — около 10%, через 6 — порядка 4% (табл. 3).

При обшей оценке микроскопического исследования, выполненного на препаратах, полученных через 1, 3 и 6 месяцев, отмечается, что созревание костной ткани под коллагеновой мембраной начинается на третьем месяце после имплантации и подходит к завершению к шестому месяцу. Эта тенденция наблюдается как в ангиогенезе, так и в остеогенезе (табл. 4).

2. Фрагмент из области эксперимента с костной тканью под титановой мембраной через 1 месяц (животные № 1,2), 3 месяца (животные № 5, 6).

Оценка стекол, окрашенных по методу Вейгерта — Ван Гизона, выявила преимущественное расположение аргирофильных волокон через 1 месяц, сформированных коллагеновых волокон через 3 и 6 месяцев. Эластические волокна не встречались (табл. 5).

Таблица 4 Сравнительная таблица микроскопических результатов

	Группа образцов					
Признак	Спустя 1 месяц		Спустя 3 месяца		Спустя 6 месяцев	
	Животное № 1	Животное № 2	Животное № 3	Животное № 4	Животное № 5	Животное № 6
Описание фиброретику- лярной ткани						Множественные обыз-
Отмечается разрастание фиброретикулярной ткани. Отмечается пролиферация остеобластов в области дефекта. В остеогенной фиброретикулярной ткани происходит отложение остеоида и появляются остеобласты	Множественные малообызвествленные костные балочки. Множественные остеобласты. Остеогенез от краев дефекта к центру	Единичные малообыз- вествленные костные балочки. Единичные остеобласты. Осте- огенез от краев де- фекта к центру	Множественные обызвестленные костные балоч- ки. Небольшое количество остеобластов. Фибро- ретикулярная ткань имеет небольшую площадь. Остеогенез от краев дефекта к центру			вестленные костные балочки. Основной объем заполнен остеоидом и сформированной костной тканью. Процессы структуризации костной ткани подходят к завершению
Васкуляризация	Групповые недифференцированные новообразованные сосуды синусоидного типа		Дифференцированные новообразованные со- суды синусоидного типа			Сформированные кровеносные сосуды, кровоток характерный для патологически не измененной костной ткани
Остеоидные балочки	Большое количество диффузно по всей поверхности дефек- та. Поверхность кост- ных балок покрыта слоем остебластов	Небольшое количе- ство ближе к краю дефекта. Поверх- ность костных балок покрыта единичными остеобластами	Часть располагается диффуз- но по всей поверхности де- фекта, а часть структурируется		Большая часть структуриро- ванная	Образование в поло- сти бывшего костного дефекта обызвествлен- ных остеоидных балок и сформированной костной ткани
Интенсивность процесса остеогенеза. Интенсивная дифференцировка коллагеновых волокон и сосудов	Большая	Средняя	Снижение. Активация процессов структуриза- ции костной ткани	Выражены процессы структуриза- ции костной ткани	Низкая	Снижение, завершение процессов структуриза- ции костной ткани

Таблица 5 Фрагменты из области эксперимента с костной тканью под титановой мембраной. А. Окраска гематоксилином и эозином, ув. 200×. Б. Окраска по методу Ван Гизона, ув. 200×

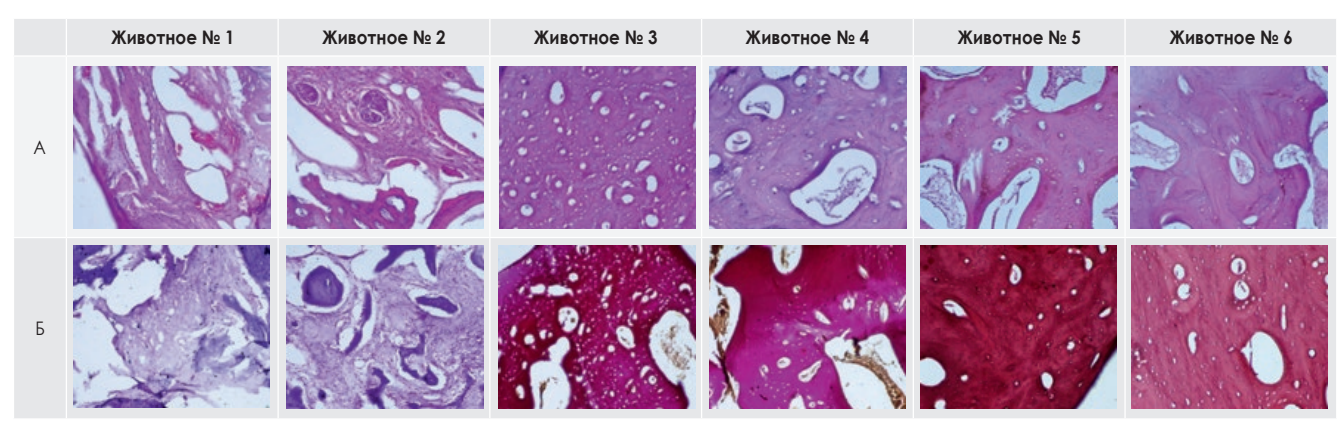


Таблица 6 Фрагменты из области эксперимента с костной тканью под титановой мембраной, окраска Сириусом красным, при проведении поляризационной микроскопии, ув. 200×

Животное № 1	Животное № 2	Животное № 3	Животное № 4	Животное № 5	Животное № 6
		100 2 B			

Таблица 7 Процентное соотношение типов коллагена

Образец	Тип коллагена	Min, %	Max, %	Среднее значение, %
Спустя 1 месяц	I тип	6,80	22,70	17,81
Животное № 1	III тип	8,01	20,11	13,58
Спустя 1 месяц	I тип	7,56	24,71	15,89
Животное № 2	III тип	6,89	19,28	12,87
	I тип	25,77	36,16	30,68
Спустя 3 месяца Животное № 4	III тип	19,79	33,14	26,97
Спустя 3 месяца Животное № 4	I тип	24,63	35,59	28,56
	III тип	13,49	19,08	15,50
Спустя 6 месяцев	I тип	73,50	86,40	80,90
Животное № 5	III тип	4,80	10,10	7,08
Спустя 6 месяцев Животное № 6	I тип	84,00	94,00	87,83
	III тип	1,50	4,90	3,55

При исследовании гистологических стекол, окрашенных Сириусом красным (Sirius Red), выявлено исходное процентное соотношение коллагеновых волокон I и III типов.

При исследовании данных гистологических стекол в поляризованном свете: коллаген I типа подсвечивается красным спектром света; коллаген III типа — зеленым спектром (табл. 6).

При проведении спектрального исследования с подсчетом пикселей красного цвета (I тип) и зеленого (III тип) получены следующие средние величины: через месяц после начала

Таблица 8 Сравнительная таблица микроскопических результатов

	Группа образцов					
Признак	Спустя 1 ме	СЯЦ	Спус	тя 3 месяца	Спустя 6 м	месяцев
	Животное № 1	Животное № 2	Животное № 3	Животное № 4	Животное № 5	Животное № 6
Описание фиброрети- кулярной ткани	Пролиферация остеобластов в области дефекта, происходит отложение остеоида и появляются единичные мало обызвествленные костные балочки. Процессы остеогенеза от краев к центру			Практически отсутствует. Выявляются единичные остеобласты. Процессы остеогенеза от краев к центру	В области бывшего дефекта обызвест- вленные костные балочки. Неболь- шое количество остеобластов	Небольшое количество остеобластов. Процессы структуризации костной ткани подходят к завершению
Отмечается разрастание новообразованной костной ткани. При исследовании гистологических стекол, окрашенных гематоксилином и эозином, воспалительного процесса, лейкоцитарной инфильтрации не выявлено		Основной объем заполнен остеоидом и сформированной костной тканью				
Васкуляризация	сосуды синусоидного можно трактовать как ус	нцированные новообразованные гипа, сосуды расширенные, что силенный кровоток в области эксеримента  Полностью сформированные кровеносные сосуды			Сформированные кровеносные сосу ды расширенные, что можно трактоват как кровоток, характерный для патоло- гически не измененной костной ткани	
Остеоидные балочки	Малообызвествленные дефекта. Поверхность ко крыта единичными ос	остных балок по- диффузно по всей поверхности дефек-			VOCTUOED A ACHANTO ONLIZBACTE A AUULI	
Интенсивность про- цесса остеогенеза. Ин- тенсивная дифферен- цировка коллагеновых волокон и сосудов	Выраженн	Снижение. Активация процессов струк- туризации костной ткани			Завершение проце ции костно	

эксперимента среднее значение коллагена I типа в препарате составило порядка 18%, через 3 месяца — около 29%, через 6 месяцев — около 86%. Значения коллагена III были следующими: через 1 месяц — порядка 13%, через 3 — около 19%, через 6 — порядка 4% (табл. 7).

При общей оценке микроскопического исследования, выполненного на препаратах, полученных через 1, 3 и 6 месяцев, отмечается, что созревание костной ткани под титановой мембраной начинается на третьем месяце после имплантации и полностью заканчивается к шестому. Это тенденция просматривается как в ангиогенезе, так и остеогенезе (табл. 8).

3. Фрагмент из области эксперимента с костью над титановым имплантатом через 1, 3 и 6 месяцев.

При оценке макропрепаратов, взятых из зоны применения титановой мембраны, выявлено нарастание костной ткани на поверхность титановой сетки (рис. 8, 9) начиная с первого месяца после имплантации.

Оценка стекол, окрашенных по методу Вейгерта — Ван Гизона, выявила наличие небольшого количества ар-

Через 1 месяц



Рисунок 8. Через 1 месяц после имплантации.

гирофильных волокн. Эластические волокна не встречались (табл. 9).

При исследовании гистологических стекол, окрашенных Сириусом красным (Sirius Red), выявлено исходное процентное соотношение коллагеновых волокон I и III типов. При исследовании данных гистологических стекол в поляризованном свете: коллаген I типа подсвечивается красным спектром; коллаген III типа подсвечивается зеленым спектром света (табл. 10).

При проведении спектрального исследования с подсчетом пикселей красного цвета (І тип) и пикселей зеленого цвета (ІІІ тип) получены следующие средние величины: через месяц после начала эксперимента среднее значение коллагена І типа в препарате составило порядка 6%, через 3 месяца — около 27%, через



Рисунок 9. Через 3 месяца после имплантации.

6 месяцев — около 84%. Значения коллагена III были следующими: через 1 месяц — порядка 8%, через 3 — около 20%, через 6 — порядка 3% (табл. 11).

При общей оценке микроскопического исследования, выполненного на препаратах, забранных через 1, 3 и 6 месяцев, отмечается, что созревание костной ткани под титановой мембраной начинается на третьем месяце после имплантации и подходит к завершению к шестому. Эта тенденция просматривается как в ангиогенезе, так и остеогенезе (табл. 12).

#### Выводы

Процесс новообразования кости по таким показателям, как завершение дифференцировки остеобластов (за-

Габлица 9 Фрагменты из области эксперимента с костью над титановым имплантатом. А. Окраска гематоксилином и эозином, ув. 200×. Б. Окраска по методу Вейгерта— Ван Гизона, ув. 200×

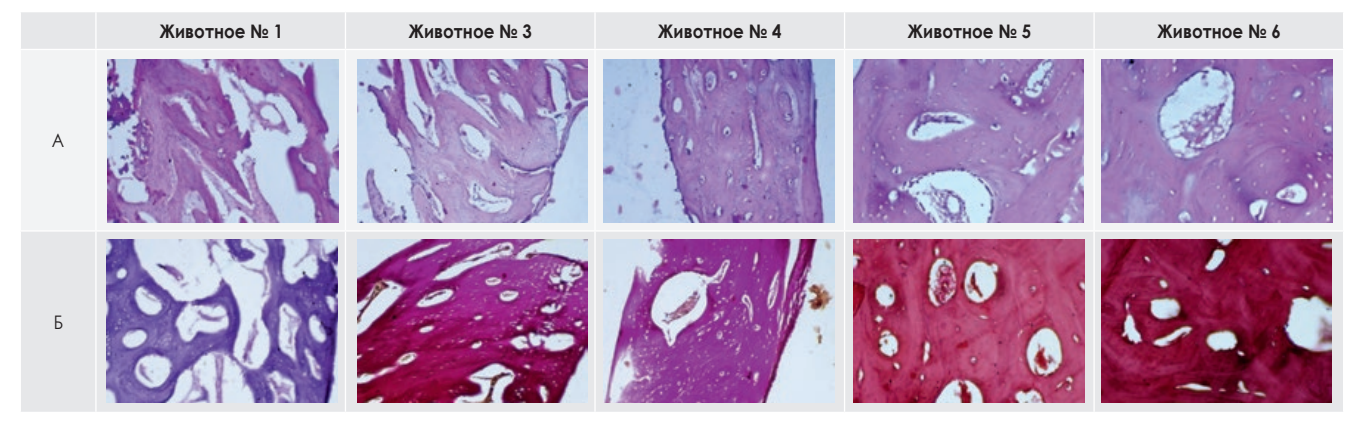


Таблица 10 Фрагменты из области эксперимента с костью над титановым имплантатом, окраска Сириусом красным, при проведении поляризационной микроскопии, ув. 200×



Таблица 11 Процентное соотношение типов коллагена

Образец	Тип коллагена	Min,%	Max,%	Среднее значение,%
Спустя 1 месяц	I тип	3,45	8,44	6,25
Животное № 1	III тип	3,87	8,99	7,29
Спустя 3 месяца Животное № 3	Ітип	6,04	65,60	30,02
	III тип	6,08	40,14	18,08
Спустя 3 месяца Животное № 4	Ітип	10,36	40,48	25,20
	III тип	16,96	27,92	22,41
Спустя 6 месяцев Животное № 5	Ітип	72,70	78,40	75,48
	III тип	2,40	7,50	4,30
Спустя 6 месяцев Животное № 6	I тип	84,60	92,60	89,08
	III тип	2,70	6,30	3,65

Таблица 12 Сравнительная таблица микроскопических результатов

	Группа образцов						
Признак	Спустя 1 месяц	Спустя 3	месяца	Спустя 6 месяцев			
	Животное № 1	Животное № 3	Животное № 4	Животное № 5	Животное № 6		
Описание фиброретикуляр- ной ткани							
В данной области имеется разрастание новообразованной костной ткани. При исследовании гистологических стекол, окрашенных гематоксилином и эозином, воспалительного процесса, лейкоцитарной инфильтрации, не выявлено	Отмечается разрастание фиброретикулярной ткани	Пролиферация остео- бластов в области де- фекта. Образование мало обызвествленных костных балок. Выявля- ются многочисленные остеобласты	Особенно по краям. Образование обызвествленных костных балок. Выявляются немногочисленные остеобласты	В области бывшего дефекта выявляются обызвествленные костные балочки. Основной объем заполнен сформированной костной тканью			
Васкуляризация	ванные новообразован	и́ ткани имеются групповы иные сосуды синусоидног тивные процессы остеого	о типа, сосуды расши-	Сформированные крс ширенные, что можно т характерный для патол ной костной ткани. Про костной ткани подх	рактовать как кровоток, логически не изменен- щессы структуризации		
Остеоидные балочки	Малообызвествленные	Признаки костеобраза фрагмента. Поверхнос та остеб,	ть костных балок покры-	Образование в полос дефекта обызвествлен и сформированн	ных остеоидных балок		
Интенсивность процесса остеогенеза. Интенсивная дифференцировка коллагеновых волокон и сосудов	Выраженная	Активация процес	ссов остеогенеза	Снижение и завершен ризации кос	ие процессов структу- стной ткани		

вершение остеогенеза), завершение ангиогенеза, процентное содержание коллагена I и III типов, отмечается при применении как коллагеновой, так и титановой мембраны.

Наиболее интенсивно и быстро процесс костеобразования происходит под титановой мембраной и полностью завершается к концу шестого месяца.

При использовании коллагеновой мембраны к концу шестого месяца процесс костеобразования близится к завершению, но до конца не заканчивается.

При использовании титановых мембран в эксперименте наблюдается рост костной ткани извне с нарастанием кости на поверхность титановой мембраны.

## Список литературы

Долгалев А. А., Зеленский В. А., Базиков И. А. Перспективы развития заместительного восстановления органо-тканевых дефектов челюстно-лицевой области / Медицинская профилактика, реабилитация и курортная медицина на рубеже III — го тысячелетия: сборник статей международной научно-практической конференции / под общей редакцией В. И. Кошель. — Ставрополь: Изд-во СтГМУ, 2016. — С. 116.

- Chen G., Ushida T., Tateish T. Scaffold design for tissue engineering. MacromolBiosci 2002; 2: 67–77.
- Gloria A., Causa F., Russo T., Battista E., Della Moglie R., Zeppetelli S., De Santis R., Netti P.A., Ambrosio L. Three-dimensional poly (ε-caprolactone) bioactive scaffolds with controlled structural and surface properties. Biomacromolecules 2012; 13(11): 3510–3521.
- Lin Xiao, Bo Wang, Guang Yang and Mario Gauthier.Poly(Lactic Acid)-Based Biomaterials: Synthesis, Modification and Applications// Biomedical Science, Engineering and Technology. InTech. p. 247–248.—2012.
- Stella J. A., D'AmoreA., Wagner W. R., Sacks M. S. On the biomechanical function of scaffolds for engineering loadbearing soft tissues. ActaBiomater 2010; 6(7): 2365–2381, http://dx.doi.org/10.1016/j.actbio.2010.01.001.

